

FIG. 1

	AIP	GaP	InP
a (Å)	5.4672	5.4505	5.8697
E_g (eV)	2.45	2.26	1.35
E_o (eV)	3.56	2.78	1.35
n	3	3.02	3.1

FIG. 2

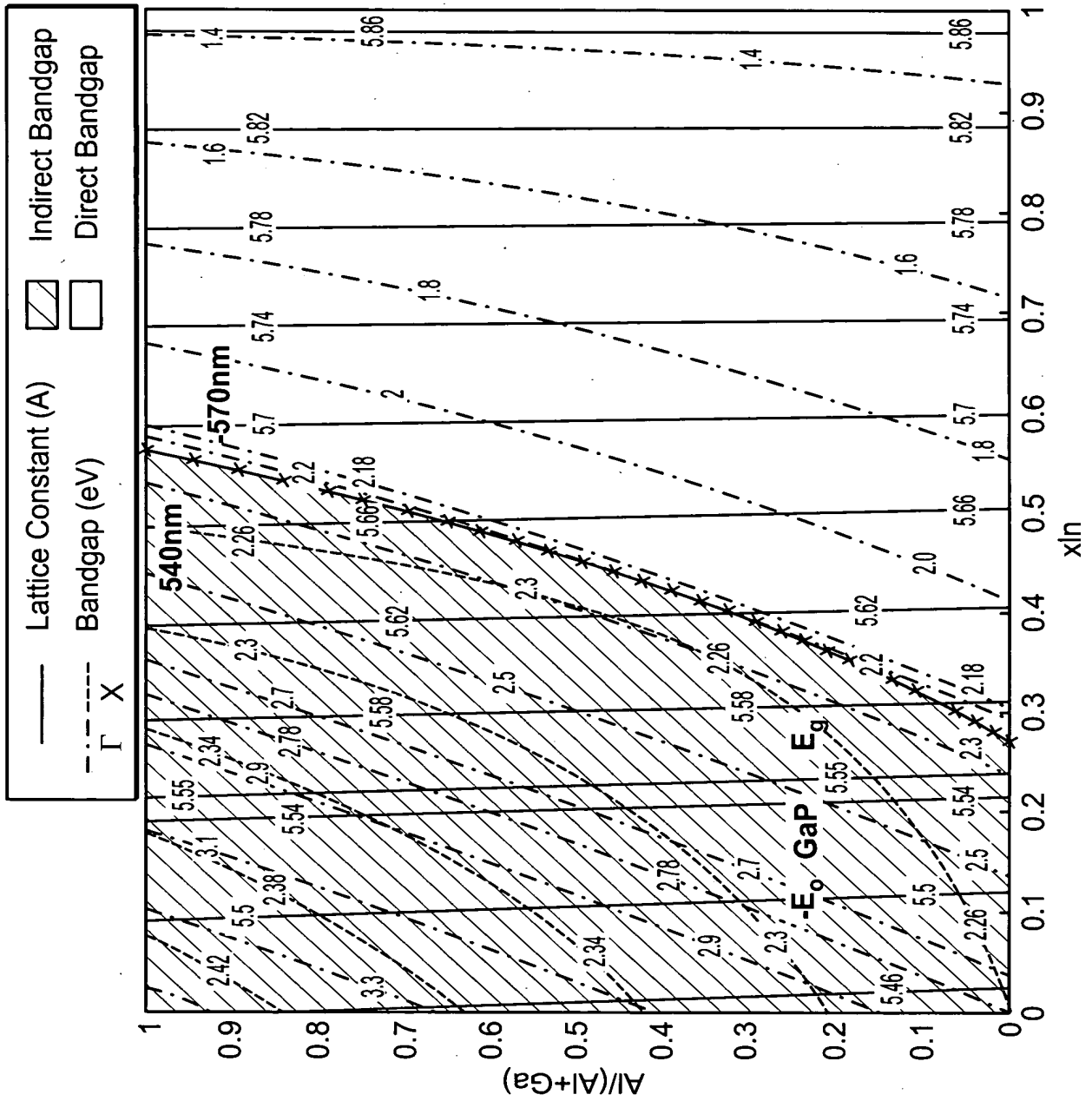


FIG. 3

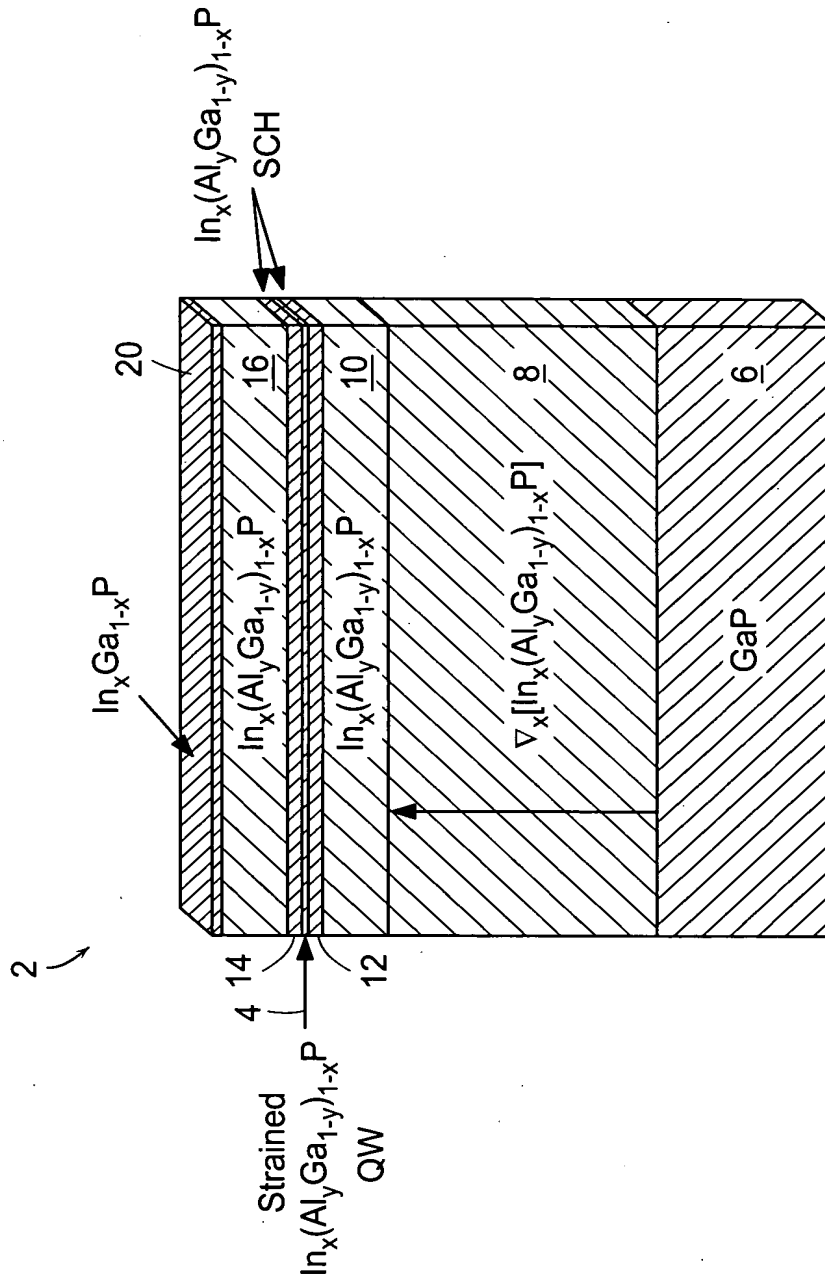


FIG. 4

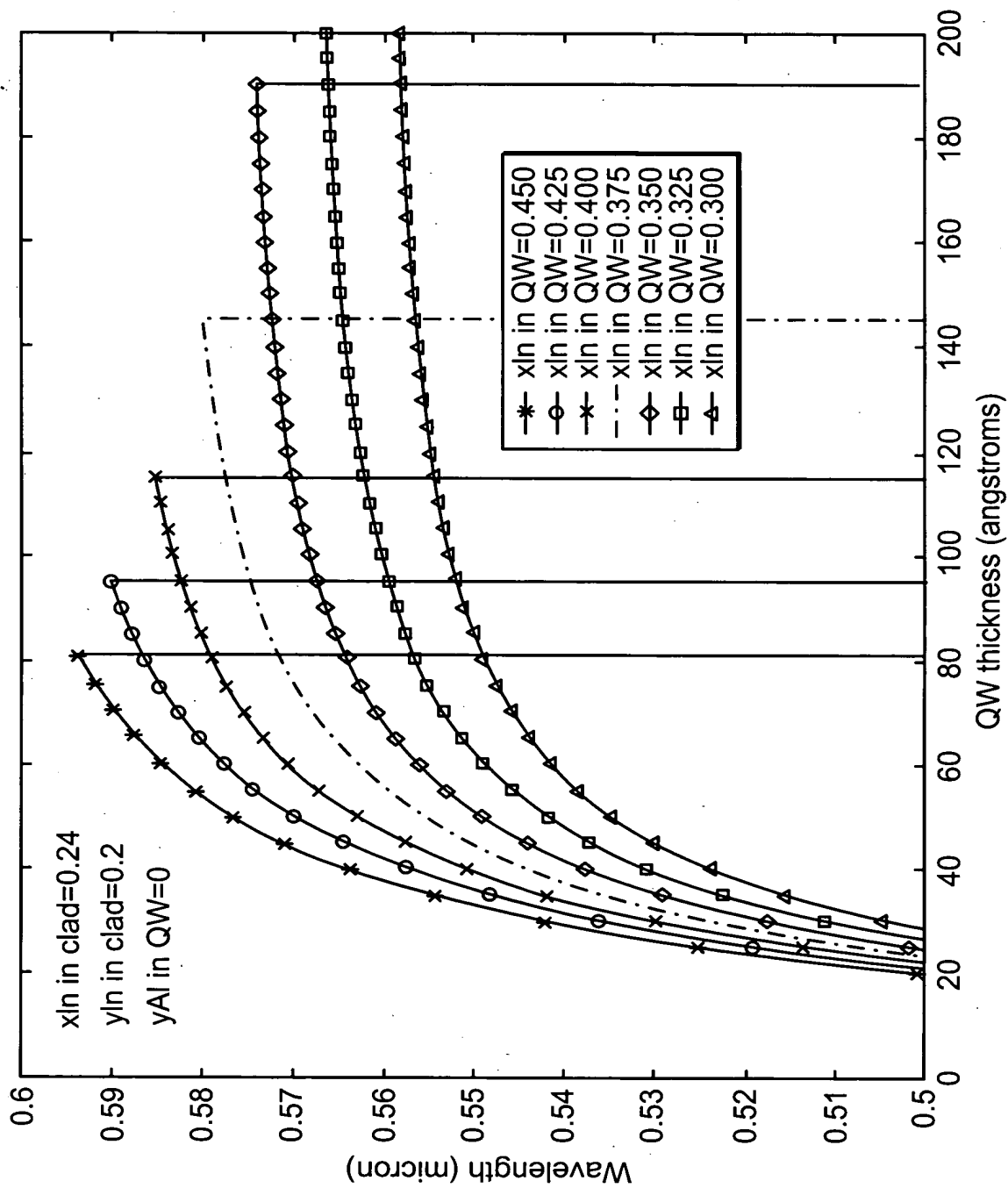


FIG. 5

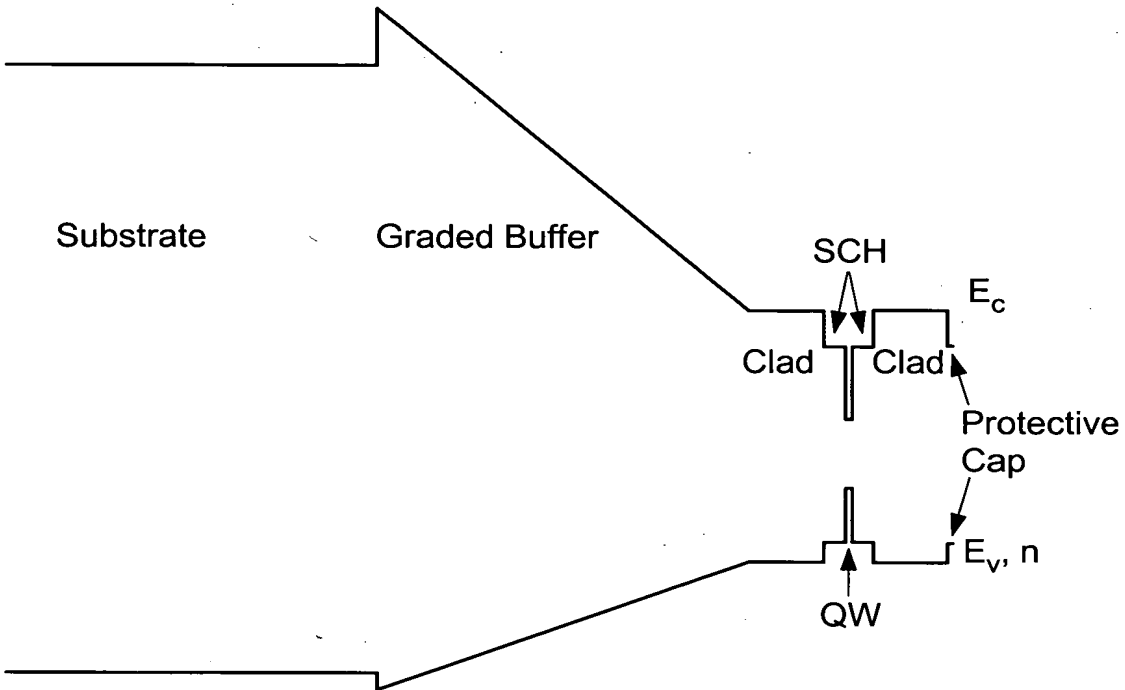


FIG. 6

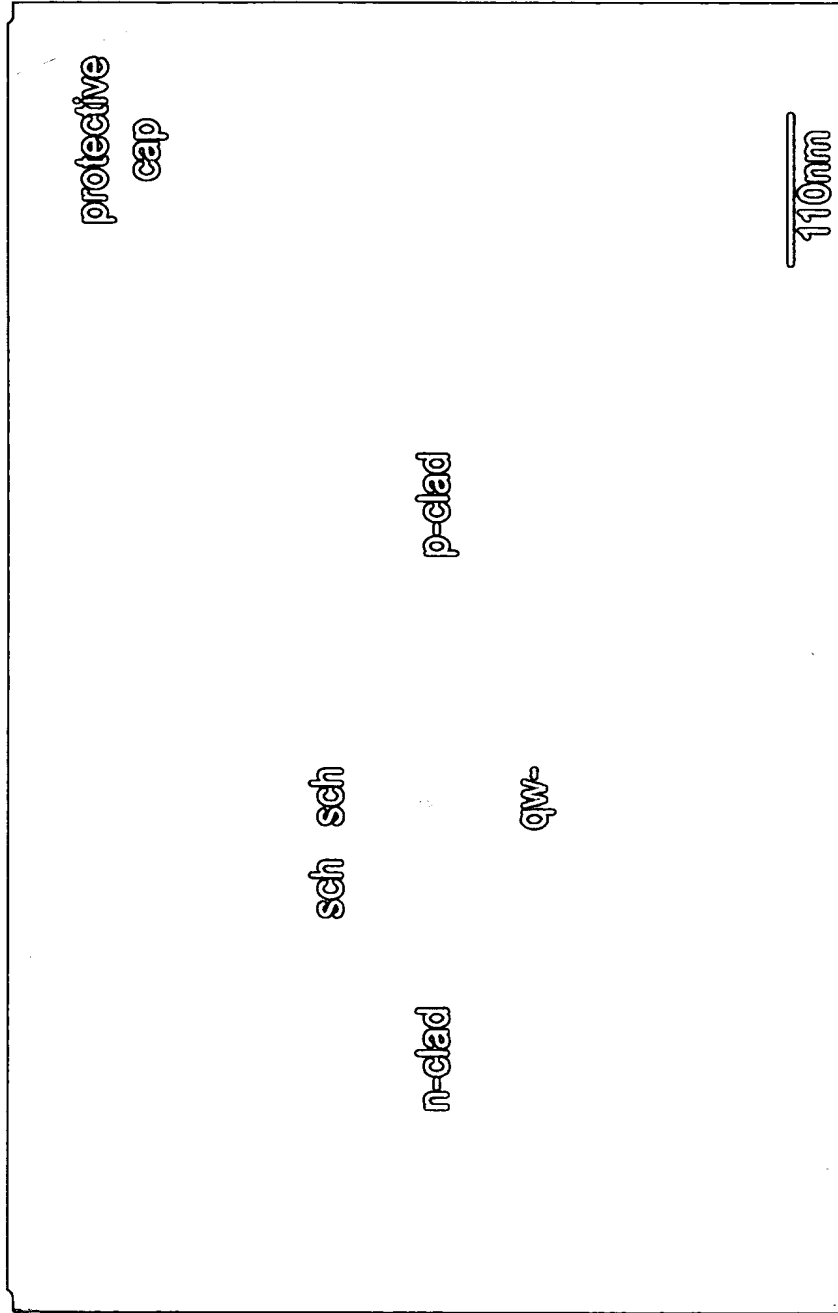


FIG. 7

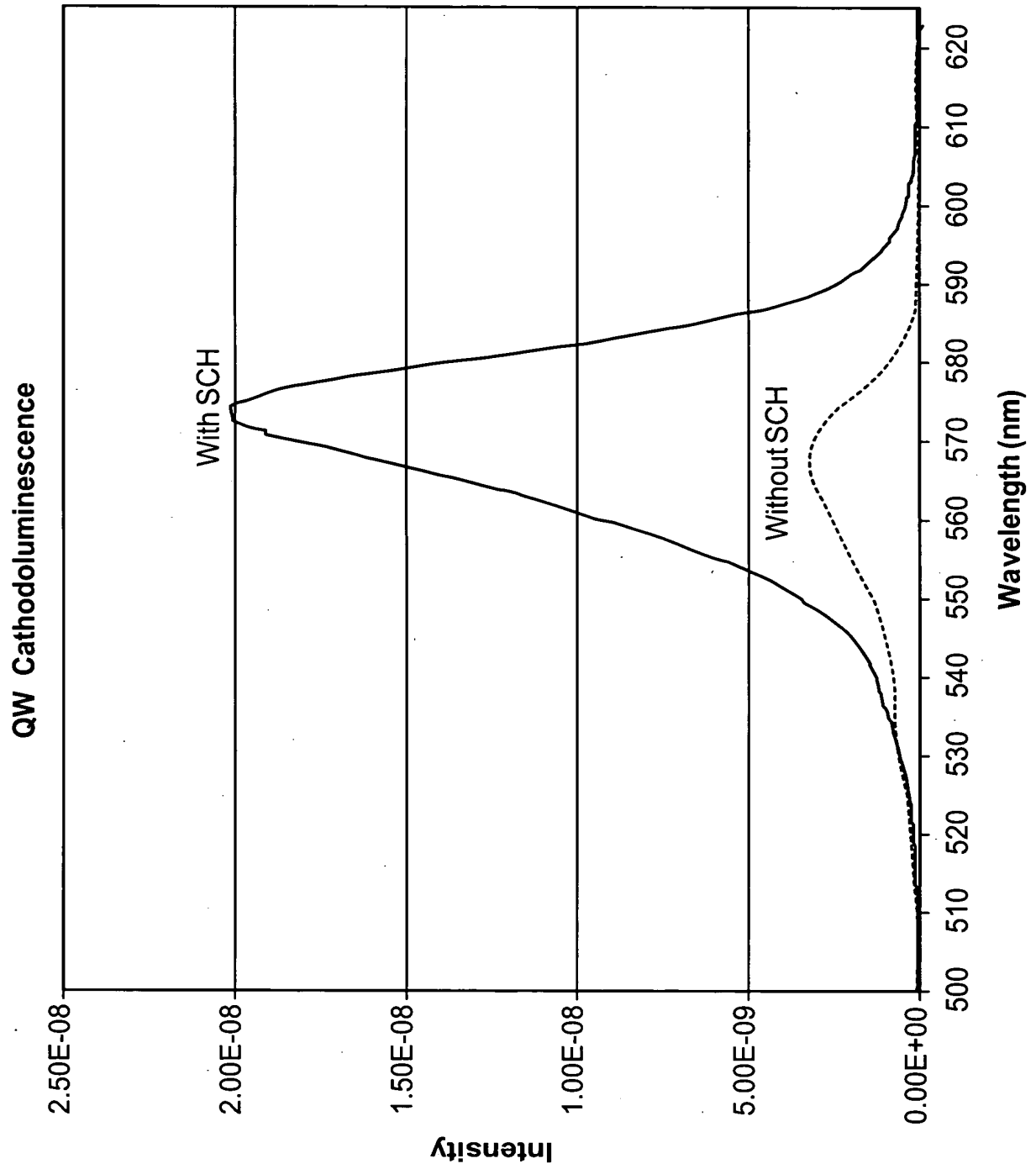


FIG. 8

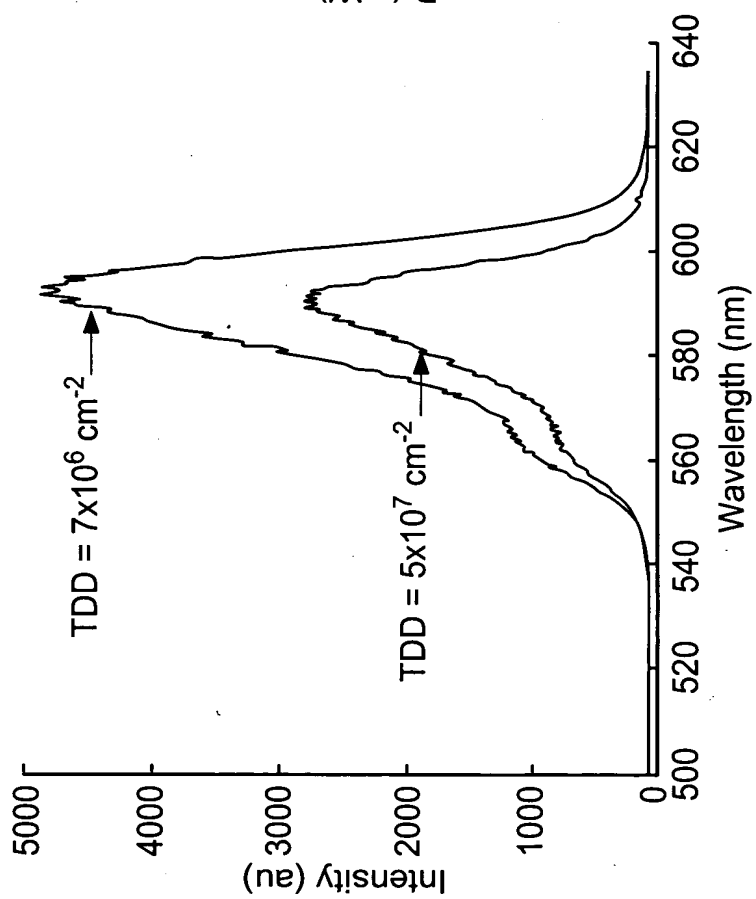


FIG. 9A

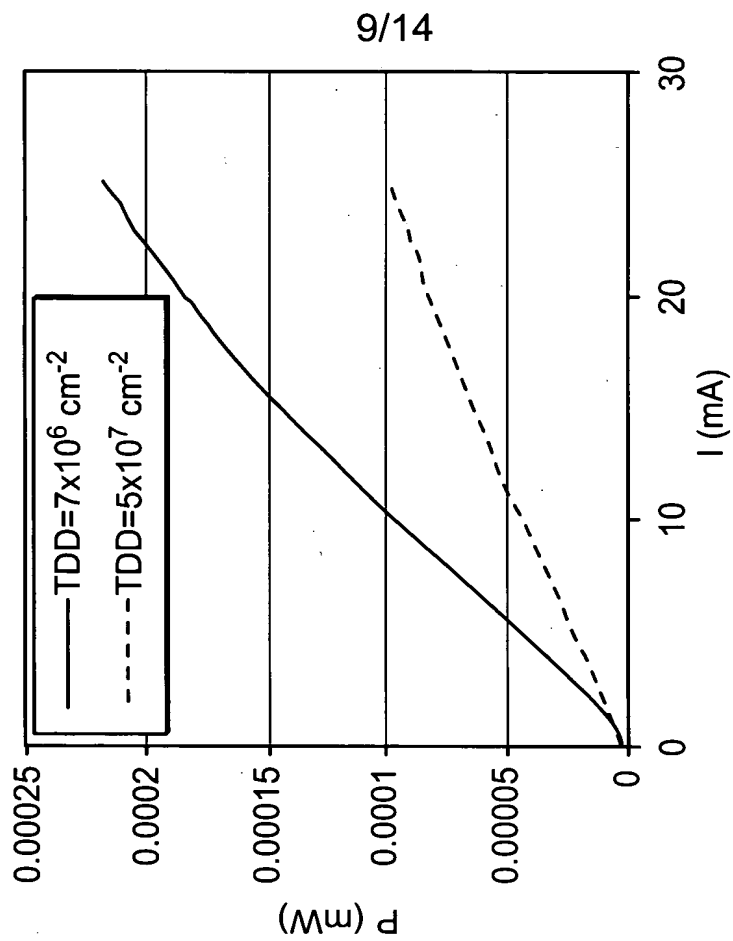


FIG. 9B

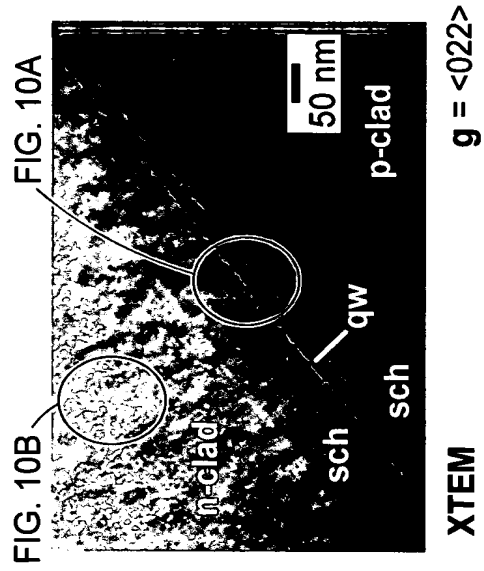
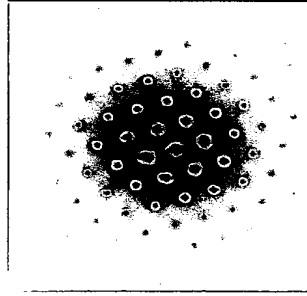
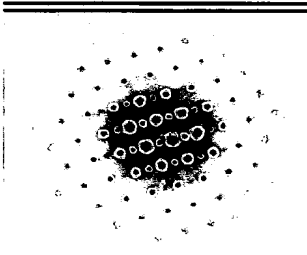


FIG. 10



$\langle 110 \rangle$ pole figure

FIG. 10B



$\langle 110 \rangle$ pole figure

FIG. 10A

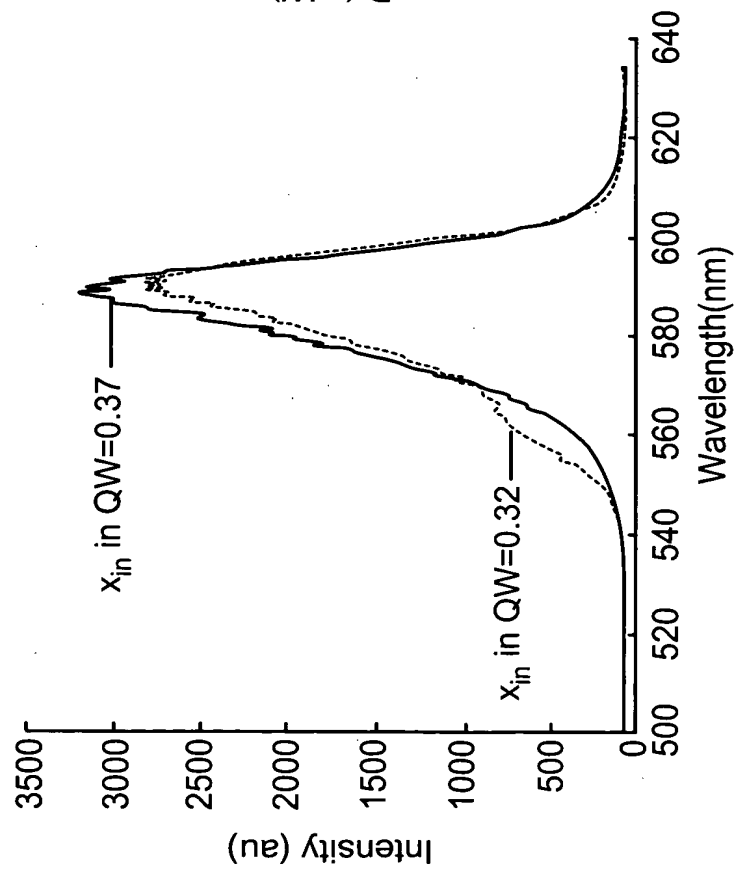


FIG. 11A

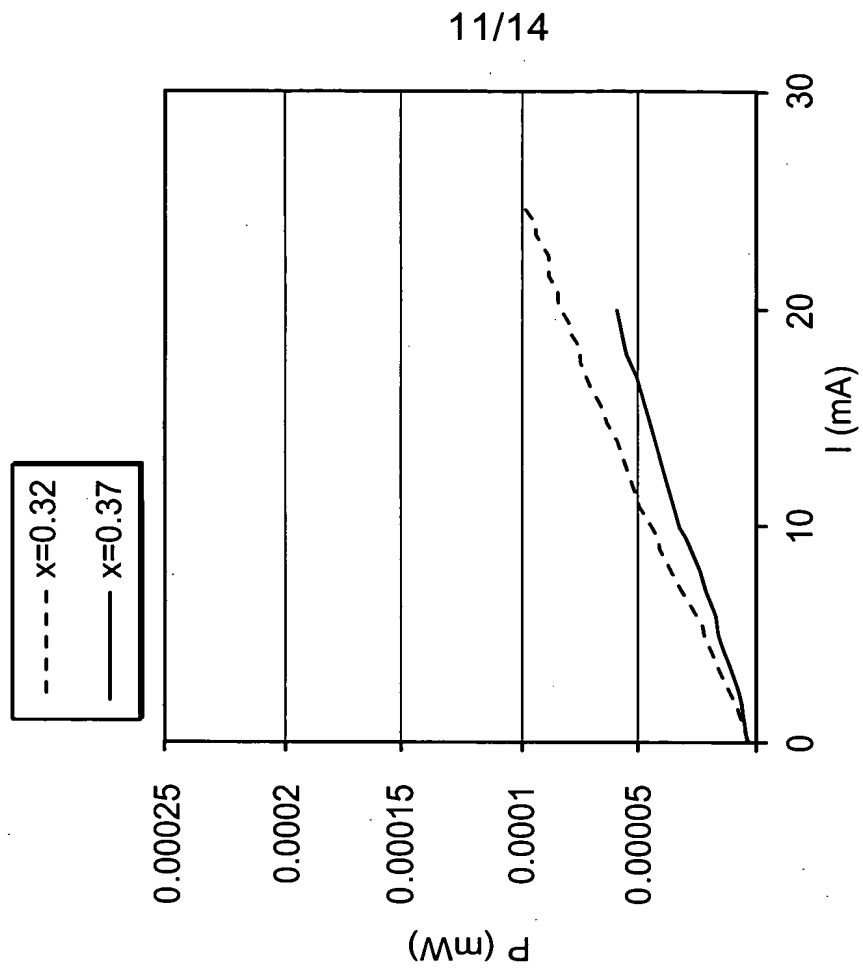


FIG. 11B

x_{qw}	$T_{\text{qw}} (^{\circ}\text{C})$	$\rho_{\text{TDD}}(\text{cm}^{-2})$	Peak λ (nm)	Secondary λ (nm)	Power per facet @ 20mA (μW)
0.32	650	7×10^6	590	560	0.18
0.32	650	5×10^7	590	560	0.08
0.37	650	5×10^7	588	--	0.06

FIG. 12

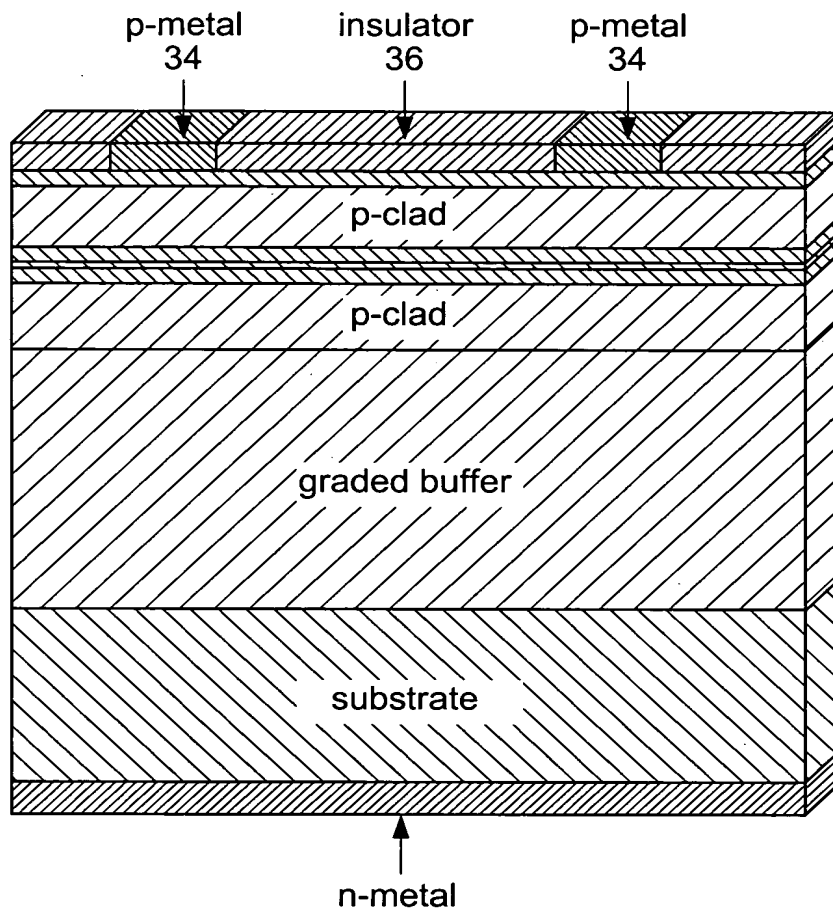


FIG. 13

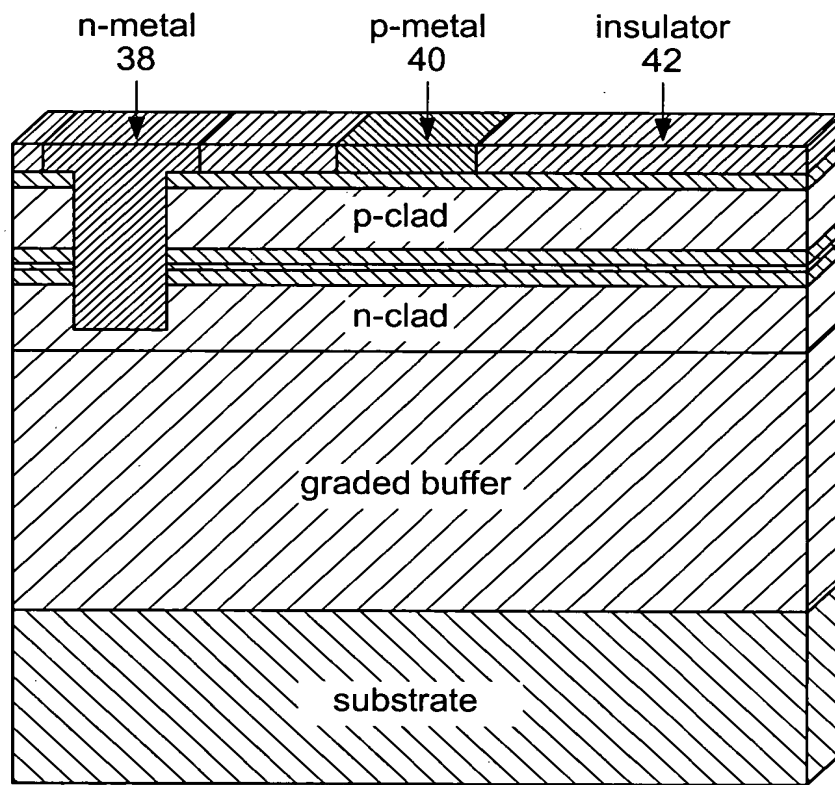


FIG. 14